

УДК 539.376+620.172.251.2

**КРАТКОВРЕМЕННАЯ ПОЛЗУЧЕСТЬ СПЛАВА АМг6
ПРИ ОДНООСНОМ РАСТЯЖЕНИИ**

В. П. Ермаков, А. П. Кузнецов

(Новосибирск)

Рассматривается метод описания ползучести для случая, когда необходимо учитывать все три стадии деформирования: неустановившуюся, установившуюся и начало ускоренной стадии. Результаты расчета сопоставляются с данными экспериментального исследования кратковременной ползучести сплава АМг6-М при изменяющихся нагрузках.

В работах [1, 2] на основании экспериментальных данных делается вывод о том, что для многих технических сплавов кратковременная ползучесть может быть учтена как ползучесть без упрочнения. Такой подход существенно упрощает анализ и сокращает объем вычислений при решении частных задач. Однако, как отмечают авторы [1, 2], некоторые материалы в условиях кратковременной ползучести обнаруживают более сложное поведение.

1. Следуя Грэхему [3], при обработке кривых ползучести сделаем следующие допущения:

- 1) полная деформация ползучести p — простая сумма вкладов, вносимых независимыми механизмами;
- 2) деформация p_i , обусловленная каждым i -м механизмом, может быть представлена для фиксированных напряжений и температур формулой

$$p_i = f_i(\sigma, T) t^{m_i} \quad (1.1)$$

Здесь σ — напряжение, T° К — температура испытания, t — время, m_i — константа.

Аппроксимирующие функции, пригодные для описания ползучести в достаточно широком диапазоне напряжений и температур, могут быть взяты в виде

$$f_i(\sigma, T) = (a_i \sigma^{n_i} + b_i e^{\beta_i \sigma}) e^{-\alpha_i / T} \quad (1.2)$$

Здесь a_i , b_i , α_i , β_i , n_i — константы, подлежащие определению из эксперимента.

В случае изменяющихся напряжений и температур для расчета i -й компоненты деформации можно использовать соотношение, которое обычно принимается для описания начальных участков кривых ползучести

$$\dot{p}_i p_i^{(1-m_i)/m_i} = m_i f_i^{1/m_i}(\sigma, T) \quad (1.3)$$

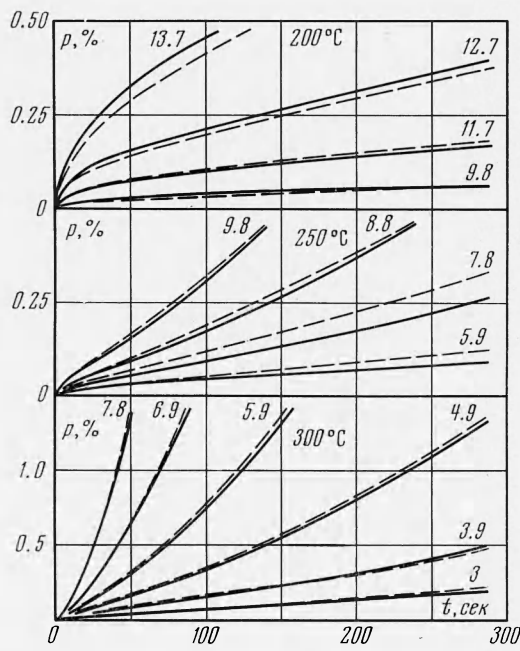
Уравнение (1.3) получается из (1.1) дифференцированием и последующим исключением времени.

2. Приведенные выше зависимости применялись для обработки результатов испытаний на растяжение в условиях кратковременной ползучести образцов из сплава АМг6-М ($\sigma_b = 35 \text{ кг}/\text{мм}^2$, $\sigma_{0.2} = 16 \text{ кг}/\text{мм}^2$). Эксперименты проводились с плоскими образцами шириной 10 мм и расчетной длиной 100 мм, вырезанными вдоль направления прокатки из листов толщиной 2.5 мм. Уровни температур при испытаниях составляли 175, 200, 225, 250, 275, 300, 325° С, а напряжения лежали в пределах от 1 до 15 $\text{кг}/\text{мм}^2$. Продолжительность экспериментов не превышала 8 мин.

Экспериментальная установка КВП-11 рычажного типа с печью инфракрасного нагрева позволяла осуществлять быстрый нагрев образца за 30—60 сек и обеспечивала поддержание заданной температуры в пределах $\pm 0,5\%$ с помощью системы терморегулирования на базе прибора ЭПР-09-М3. Выравнивание температуры по длине образца достигалось за счет дополнительных нагревателей, установленных в тяги. Быстрое и плавное нагружение (в течение 0.3—0.7 сек) производилось эксцентриковым механизмом с демпфером, а заданный уровень напряжения обеспечивался с точностью не менее $\pm 1\%$ набором грузов. Для измерения деформаций использовался экстензометр на базе индикатора часового типа с ценой деления 0.002 мм и верхним пределом измерения 2 мм. Регистрация показаний индикатора и секундомера осуществлялась автоматически с помощью фотокамеры РФК-ИМ.

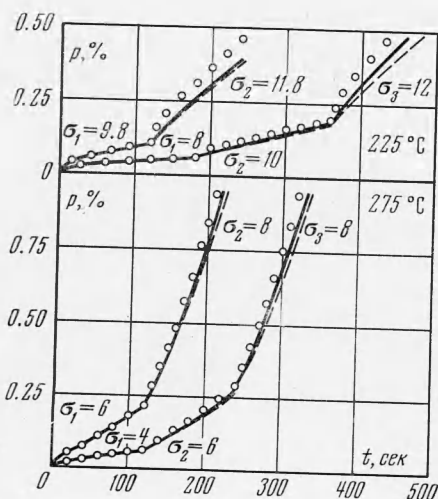
На фиг. 1 сплошными линиями изображены в виде кривых ползучести осредненные результаты испытаний листового материала толщиной 2.5 мм (здесь и на остальных фигурах, кроме фиг. 4, цифрами у кривых обозначены величины напряжений в $\text{кг}/\text{мм}^2$). На каждом режиме испытывалось от 2 до 4 образцов. Разброс по деформациям

при этом не превышал $\pm 10\%$. В качестве начального отсчета для деформаций ползучести принималась деформация, соответствующая моменту окончания нагружения. Этот момент определялся по осциллографмам сигнала тензодатчиков, установленных на тяге вне зоны нагрева.

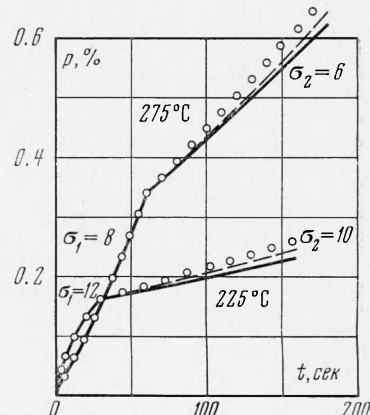


Фиг. 1

ботки сведены в таблицу, а о качестве аппроксимации можно судить по фиг. 1, где расчетные кривые изображены пунктиром. Здесь следует отметить, что константы таблицы не носят универсального характера и их использование вне области напряжений, температур и деформаций, указанных на фиг. 1, может привести к ошибке.



Фиг. 2



Фиг. 3

4. Для проверки возможности использования уравнений типа (1.3) в случае нестационарных режимов были проведены опыты с напряжениями, изменяющимися во времени ступенями. Данные экспериментов при температурах 225 и 275°C изображены

i	n_i	m_i	$\alpha_{i1} \cdot 10^{-3}$, $^{\circ}\text{К}$	$\beta_{i1} \cdot \text{мм}^2/\text{кгс}$	a_i	b_i
1	1	$1/3$	4.6	0.72	$5.9 \cdot 10^{-2}$ $\text{мм}^2/\text{сек}^{1/3} \cdot \text{кгс}$ 1.05 $\cdot 10^6$ $\text{мм}^6/\text{сек} \cdot \text{кгс}^3$ 4.9 $\cdot 10^{13}$ $\text{мм}^{18}/\text{сек}^2 \cdot \text{кгс}^8$	$4.5 \cdot 10^{-4}$ $\text{сек}^{-1/3}$ 5.0 $\cdot 10^4$ сек^{-1} 0
2	3	1	16.8	0.98		
3	8	2	34.8	—		

кружками на фиг. 2 (догружение) и на фиг. 3 (разгружение). Здесь в качестве начальных отсчетов для деформаций ползучести принимались деформации, соответствующие моментам окончания перегрузки. Время перегрузки определялось по осциллографмам и не превышало 1 сек. Сплошными линиями на фиг. 2 и фиг. 3 показаны результаты расчета по соотношениям (1.2), (1.3) с использованием коэффициентов таблицы, а пунктирными — результаты графического построения в соответствии с кинетическим уравнением ползучести

$$\dot{p} = u(\sigma, T, p)$$

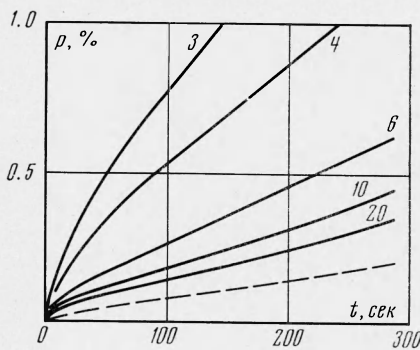
Из фиг. 2 и фиг. 3 видно, что опытные данные описываются удовлетворительно.

5. Для исследования влияния нагартовки на ползучесть испытывались образцы из листового материала АМг6-Н ($\sigma_b = 45 \text{ кг}/\text{мм}^2$, $\sigma_{0.2} = 38 \text{ кг}/\text{мм}^2$) толщиной 2 мм. Из результатов эксперимента можно сделать следующие выводы. Во-первых, скорость ползучести нагартованного материала может в несколько раз и даже в десятки раз превышать скорость ползучести мягкого материала. Во-вторых, при температуре выше $\sim 250^{\circ}\text{C}$ материал АМг6-Н становится структурно неустойчивым. Последний факт иллюстрируется фиг. 4. Здесь сплошными линиями изображены кривые ползучести материала АМг6-Н при температуре 300°C и напряжении 3 $\text{кг}/\text{мм}^2$. Цифры у кривых означают время (в минутах) выдержки образцов при температуре 300°C перед нагружением. Пунктирная линия соответствует мягкому материалу. Таким образом, пребывание нагартованного материала при повышенной температуре приводит к его упрочнению по отношению к ползучести.

Поступила 5 II 1971

ЛИТЕРАТУРА

- Миляков С. Т., Работнов Ю. Н. Некоторые результаты экспериментального исследования кратковременной ползучести при одноосном растяжении. ПМТФ, 1966, № 5.
- Работнов Ю. Н., Миляков С. Т. Кратковременная ползучесть. М., «Наука», 1970.
- Кеннеди А. Д. Ползучесть и усталость в металлах. М., «Металлургия», 1965.



Фиг. 4

Технический редактор Э. Ф. Бунова

Сдано в набор 2/XII-1971 г. Т-01190 Подписано к печати 2/II-1972 г. Тираж 2055 экз.
Зак. 3144 Формат бумаги 70×108^{1/16} Усл. печ. л. 12,6 Бум. л. 4^{1/2} Уч.-изд. л. 13,0

2-я типография издательства «Наука». Москва, Шубинский пер., 10